

УДК 621.315.592

## НЕМОНОТОННОСТЬ ПРОВОДИМОСТИ ИНВЕРСИОННЫХ *p*-КАНАЛОВ

Кабыченков А. Ф.

Экспериментально исследована немонотонная зависимость проводимости инверсионных *p*-каналов кремния. Наблюдаемые особенности связываются с состоянием носителей в канале типа квазидвумерного электронного стекла. Взаимодействие между носителями в стекле приводит к образованию щели в плотности состояний на уровне Ферми. Немонотонное изменение ширины щели из-за кулоновских корреляций может привести к немонотонности проводимости.

Немонотонная зависимость проводимости  $\sigma$  узких (шириной  $< 1$  мкм) инверсионных *n*-каналов от концентрации электронов  $n$  в области небольших  $n < 5 \cdot 10^{11}$  см $^{-2}$  наблюдалась в [1, 2]. В [1] предполагалось, что немонотонность  $\sigma(n)$  связана с эффектами взаимодействия между локализованными носителями, в [2] — с резонансным туннелированием по квазидномерным путям. В данной работе наблюдалась немонотонная зависимость  $\sigma(p)$  в широких инверсионных *p*-каналах кремния, где проявление эффектов взаимодействия должно быть более значительным, нежели туннелирования.

**Эксперимент.** Исследовались кремниевые МДП транзисторы с большой плотностью поверхностных состояний  $p_t = \alpha(V_t - V_i)$ , где  $\alpha = \kappa/4\pi ed \approx 9 \times 10^{10}$  см $^{-2}$ . В $^{-1}$ ,  $\kappa = 3.9$  — диэлектрическая проницаемость диэлектрика ( $\text{SiO}_2$ ),  $d = 0.23$  мкм — толщина диэлектрика,  $V_t$  — пороговое напряжение, соответствующее пересечению линейного участка  $\sigma(V_g)$  с осью  $V_g$  при температуре 77 К (рис. 1, *a*),  $V_g$  — напряжение на металлическом электроде,  $V_i$  — собственное пороговое напряжение, обусловленное донорами в слое обеднения. Инверсионные каналы длиной  $L = 10$  мкм и шириной  $D = 10^3$  мкм создавались на (100) поверхности Si : P с концентрацией доноров  $10^{15}$  см $^{-3}$ . Измерения проводились на постоянном токе при малом тянувшем напряжении  $V_d \sim 10$  мВ в области гелиевых  $T$  в широком диапазоне концентраций дырок  $p = \alpha(V_g - V_i)$ .

Изменение  $\sigma = I_d L / V_d D$  ( $I_d$  — ток в канале) и соответствующее ему изменение  $d\sigma/dV_g$  с ростом  $V_g$  для образца 11 с  $p_t = 2.0 \cdot 10^{11}$  см $^{-2}$  показаны на рис. 1, *b*, *c*. В этих немонотонных зависимостях большинство «минимумов» укладывается в серию  $p_m = p_t + m\Delta p$ , где  $m = 1, 2, \dots$  — целые числа,  $\Delta p \approx 10^{11}$  см $^{-2}$  — расстояние между минимумами по концентрации. Вблизи порога расположение «минимумов» наиболее регулярное, а их амплитуда невелика. С увеличением  $V_g$  амплитуда сначала растет, достигает максимума при  $V_g \approx 26$  В и далее уменьшается. Немонотонность  $\sigma$  появляется при  $T_0 \approx 5$  К и усиливается с понижением  $T$ . С увеличением  $V_d$  зависимость  $\sigma(V_g)$  сглаживается и при  $V_d \approx 30$  мВ ( $T = 4.2$  К) немонотонность исчезает. При уменьшении  $V_g$  наблюдается слабый гистерезис, однако положение основных «минимумов» и степень немонотонности практически не изменяются. Тем не менее в других сериях экспериментов (охлаждение образца от 300 до 4.2 К и проведение измерений при 4.2 К) зависимость  $\sigma(V_g)$  имела вид кривых, показанных на рис. 1, *г*, *д*. Вблизи порога существует плато (ступенька). Проводимость на плато очень низкая, менее  $10^{-12}$  Ом/□.

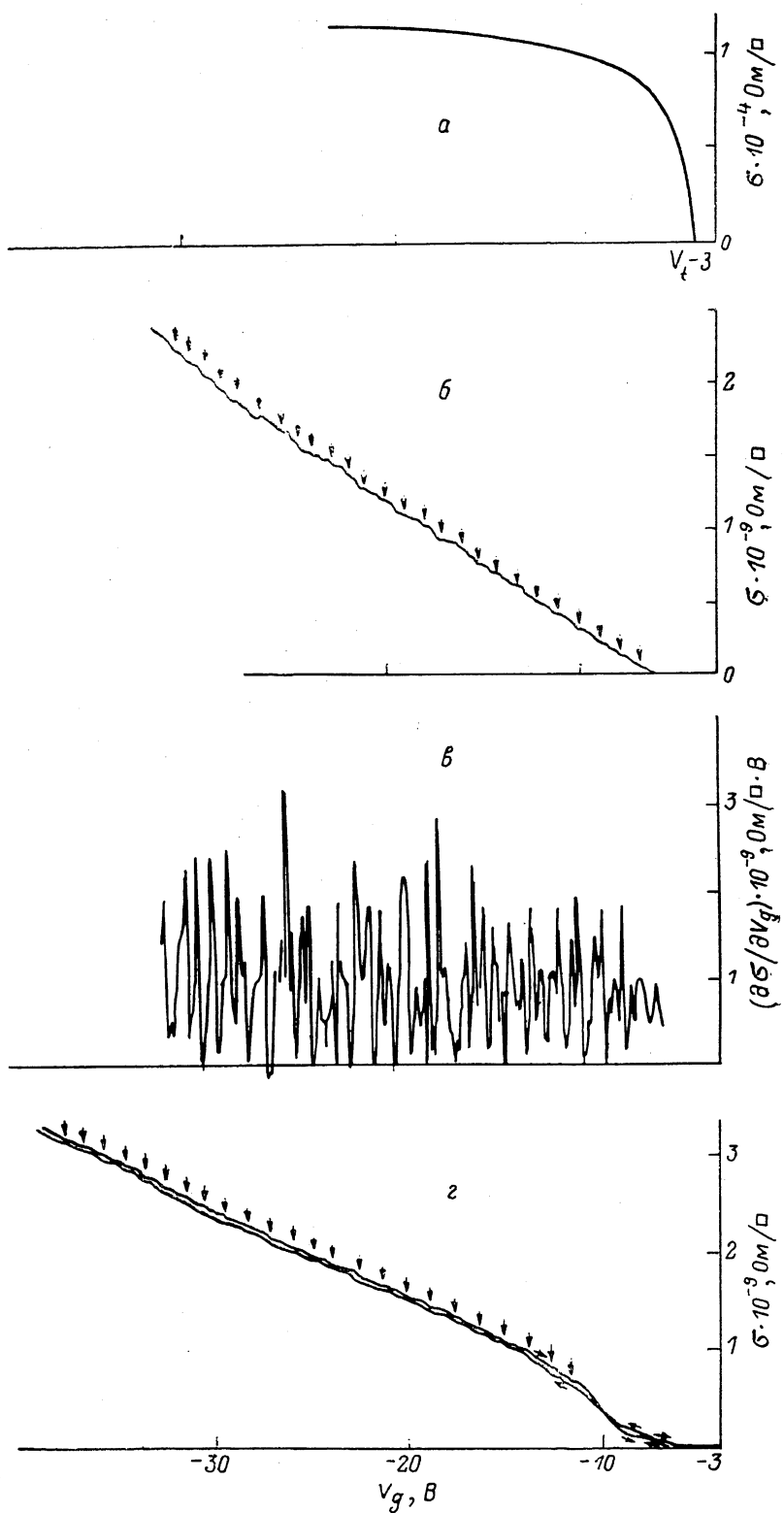


Рис. 1. Зависимость  $\sigma(V_g)$  в различных экспериментах для образца 11.

$T, \text{K}: a - 77, b, c, \theta - 4.2; V_d, \text{mV}: a - 5, b, c, \theta - 10; b -$  стрелками указаны положения основных минимумов;  $c -$  соответствующая  $b$  зависимость  $d\sigma/dV_g$ ;  $z -$  после отогревания образца до 300 К и повторного охлаждения до 4.2 К, стрелки вдоль кривых указывают направление изменения  $V_g$ ;  $\theta -$  после длительного ( $\sim 50$  ч) нахождения образца в гелии; цена деления  $\sigma, \text{Ом}/\square: 1, 2 - 10^{-11}, 3 - 10^{-10}, 4 - 3 \cdot 10^{-9}$ .

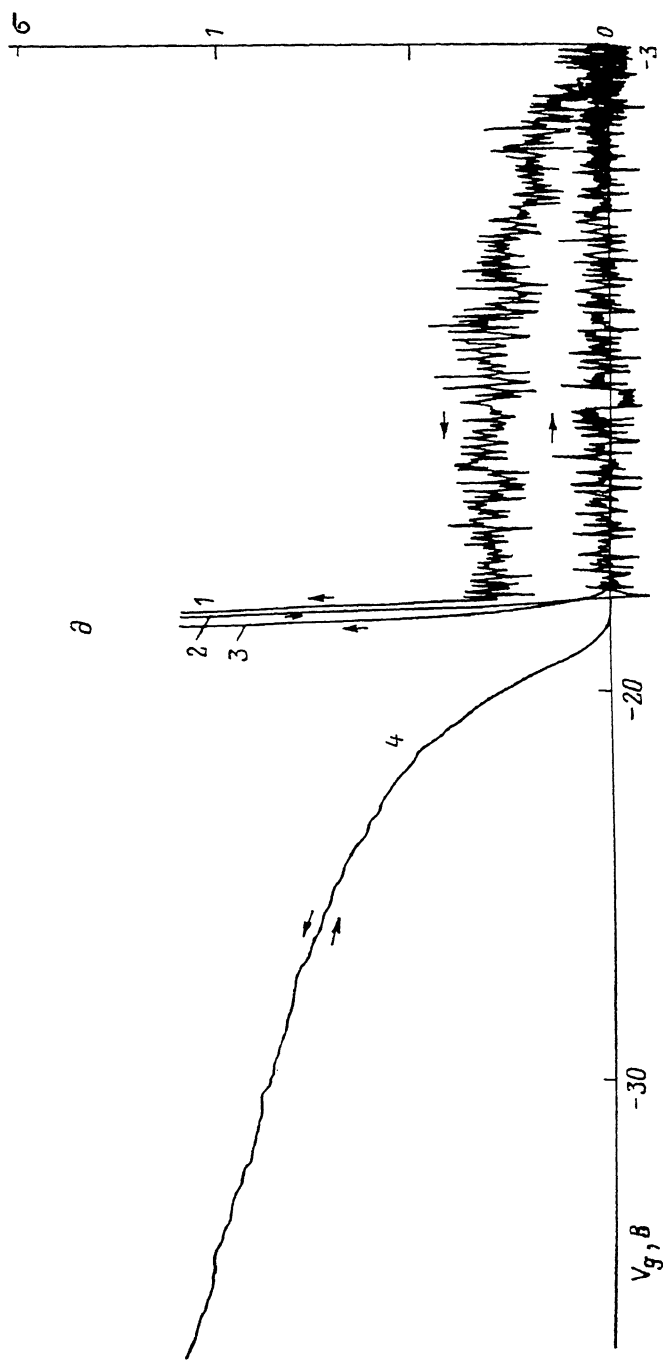


Рис. 1 (продолжение).

причем гистерезис здесь может быть значительным (рис. 1,  $\partial$ ). Плато наблюдается и при охлаждении образца под напряжением. Ширина плато увеличивается при длительном нахождении транзистора в жидком гелии. Форма плато не-постоянна. В предельных случаях  $\sigma(V_g)$  либо монотонно возрастает с очень малым наклоном, либо имеет форму двух ступенек, как на рис. 2, причем в конце второй ступеньки  $\sigma$  может существенно уменьшаться. За плато  $\sigma$  возрастает на несколько порядков в узком интервале  $V_g$  до величины  $\sim 10^{-8}$  Ом/ $\square$ . Далее  $\sigma(V_g)$  становится сублинейной, а при больших  $V_g$  — близкой к линейной и даже слабо суперлинейной. Увеличение  $V_g$  до напряжения пробоя диэлектрика  $\approx 250$  В не приводит к значительному увеличению  $\sigma$  и металлизации канала. При наличии плато немонотонность  $\sigma(V_g)$  сохраняется, однако регулярность в положении «минимумов» нарушается. Вид  $\sigma(V_g)$  определяется и скоростью  $v$  изменения  $V_g$ . Приведенные зависимости получены при  $v \approx 0.01$  В/с. С увеличением  $v$  зависимость  $\sigma(V_g)$  сглаживается, и при  $v \sim 0.3$  В/с немонотонность пропадает. Характерное время релаксации  $\sigma$  при изменении  $T$  или  $V_g$  составляет  $10^2$  с. Это время значительно больше постоянной  $RC$  и, следовательно, определяется электронными процессами в канале. Величина  $\sigma$  в точке  $(T, V_g)$  зависит от пути, по которому эта точка достигается. Указанные свойства характерны для электронного стекла.

На рис. 2 приведена зависимость  $\sigma(V_g)$  для образца 4 с  $p_t = 2.8 \cdot 10^{11}$  см $^{-2}$  при  $T = 4.2$  К и различных  $V_d$ . Немонотонность здесь выражена сильнее, но регулярность в положении минимумов отсутствует. Слабая регулярная немонотонность разрушается сильной нерегулярной. Ступенька вблизи порога наблюдается почти во всех экспериментах. Она появляется при  $T_0 \approx 22$  К и с понижением  $T$  становится более пологой. Ширина плато  $\sim 1.5 \cdot 10^{12}$  см $^{-2}$ . Немонотонность  $\sigma(V_g)$  возникает при  $T_0 \approx 8$  К и усиливается с понижением  $T$ . Амплитуда экстремумов растет, появляются новые экстремумы. Первоначально возникшие минимумы и максимумы почти не смещаются, хотя соотношение между их амплитудами может изменяться. С увеличением  $V_d$  число экстремумов и их относительная глубина уменьшаются, и при  $V_d \approx 50$  мВ ( $T = 4.2$  К) немонотонность исчезает. Наклон плато возрастает с увеличением  $V_d$ , и при  $V_d \sim 300$  мВ ступенька исчезает. На зависимости  $\sigma(V_g)$  наблюдается гистерезис, но положение минимумов сохраняется (рис. 2,  $a$ ). На ступеньке гистерезис может быть значительным даже при относительно высоких  $T \sim 10$  К. В одной серии экспериментов немонотонность  $\sigma(V_g)$  повторяется в основном и через несколько суток. Положение главных экстремумов практически не изменяется. Амплитуда может незначительно изменяться. Мелкие экстремумы проявляются не всегда. Зависимость  $\sigma(V_g)$  повторяется в основном и в различных сериях экспериментов. Положение и величина главных экстремумов изменяются незначительно (рис. 2,  $a, b$ ). Форма и ширина плато непостоянны. При длительном нахождении образца в гелии ширина плато может увеличиваться. В этом случае амплитуда основных экстремумов уменьшается, появляются новые небольшие экстремумы.

Температурная зависимость  $\sigma(T)$  является безактивационной в области  $T$  выше азотных и  $p > p_t$ , причем здесь  $\sigma > \sigma_{mn} \approx 3 \cdot 10^{-5}$  Ом/ $\square$  (рис. 1,  $a$ ). Носятели делокализованы. При низких  $T$  зависимость  $\sigma(T)$  является активационной для всех  $p$ . Энергия активации  $\varepsilon$  в среднем монотонно уменьшается с понижением  $T$ , за исключением области  $T < T_0$ , где  $\varepsilon$  вновь увеличивается. Величина  $\varepsilon \sim 15$  мэВ в интервале  $50 > T > 25$  К, и  $\varepsilon \sim 1$  мэВ при  $T < 20$  К. В области  $T < T_0$  значение  $\varepsilon$  немонотонно зависит от  $V_g$ ,  $\varepsilon_m$  в максимуме  $\sigma$  меньше  $\varepsilon_m$  в следующем за ним минимуме. Так, для образца 4 при 4.2 К величина  $\varepsilon_m(V_g \approx 25$  В)  $\approx 1.6$  мэВ, а  $\varepsilon_m(V_g \approx 27$  В)  $\approx 2.2$  мэВ. Изменение  $\Delta\varepsilon = \varepsilon_m - \varepsilon_M \approx 0.6$  мэВ  $\approx kT_0$ . С увеличением  $V_g$ ,  $T$  и  $V_d$  значение  $\varepsilon$  уменьшается и соответственно уменьшается немонотонность  $\sigma$ .

Все исследовавшиеся транзисторы ( $> 10$  шт) обнаруживали немонотонность  $\sigma$  при гелиевых  $T$ . Подобные зависимости наблюдались и на серийных полевых транзисторах типа КП-301. Обычно слабая регулярная немонотонность обнаруживалась в образцах с небольшой ступенькой. В структурах с ярко выраженным

ной ступенькой немонотонность была сильнее, но регулярность в положении «минимумов» исчезала.

*Обсуждение результатов.* Низкая  $\sigma \ll \sigma_{mm}$  и ее активационный характер свидетельствуют о локализации дырок для всех  $p$ . Неоднородный потенциал

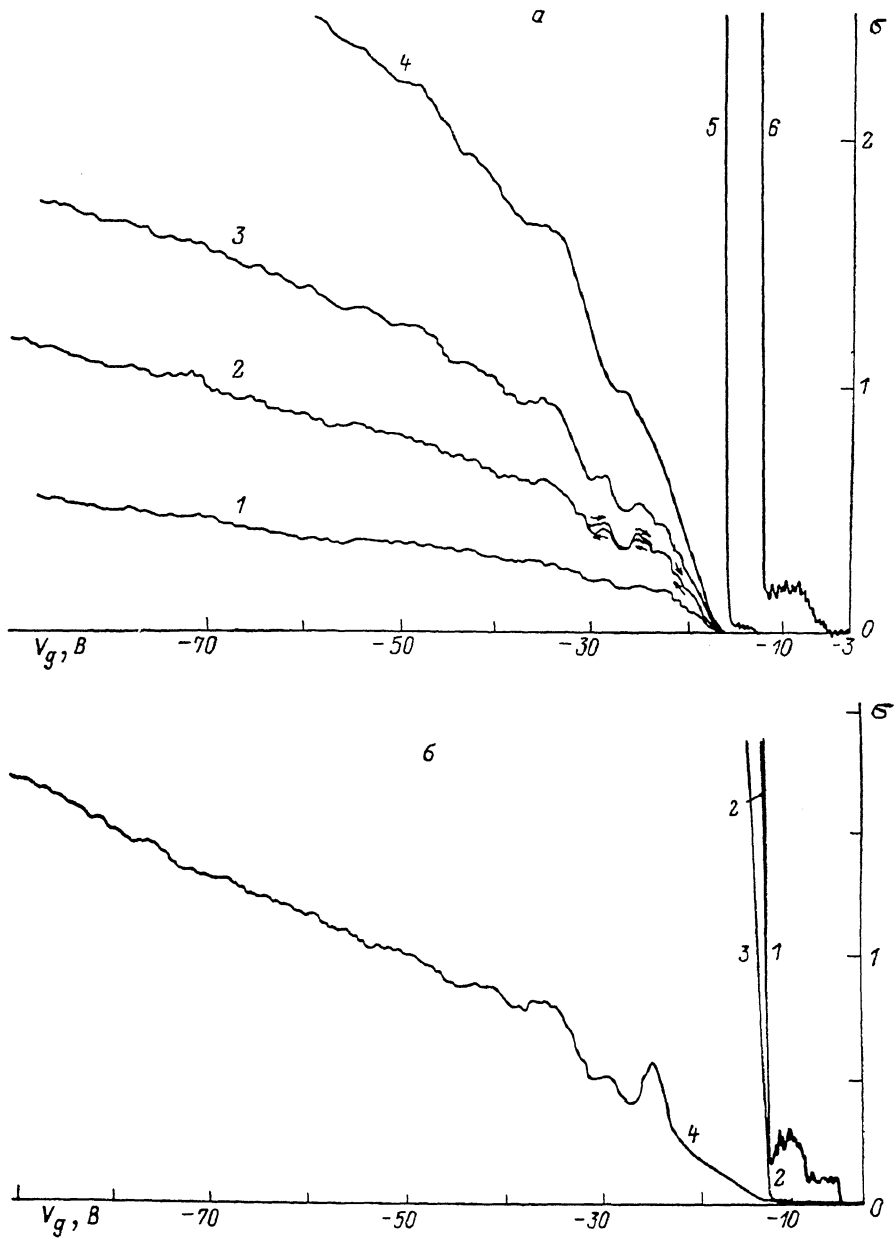


Рис. 2. Зависимость  $\sigma(V_g)$  для образца 4 при  $T=4.2$  К в различных экспериментах.  
а)  $V_d$ , мВ: 1 — 2, 2 — 4, 3 — 10, 4—6 — 30; цена деления  $\sigma$ ,  $\Omega^{-1}$ : 1 —  $1.5 \cdot 10^{-9}$ , 2 —  $7.5 \cdot 10^{-10}$ , 3, 4 —  $10^{-9}$ , 5 —  $10^{-11}$ , 6 —  $10^{-12}$ ; б)  $V_d=10$  мВ; цена деления  $\sigma$ ,  $\Omega^{-1}$ : 1 —  $3 \cdot 10^{-12}$ , 2 —  $3 \cdot 10^{-11}$ , 4 —  $10^{-12}$ .

(НП), локализующий носители, — сумма фиксированного исходного НП (ИНГ) и самосогласованного кулоновского потенциала дырок. Последний приводит к пространственно коррелированной локализации носителей, обеспечивающей минимум потенциальной энергии их взаимодействия  $W$ . Для упорядоченно локализованных дырок  $W_d \approx 2e^2 p^{1/2} / \bar{\chi} \approx 12 \delta^{1/2}$  мэВ, где  $\delta = p/10^{11}$  см<sup>-2</sup>,  $\bar{\chi}$  — средняя диэлектрическая проницаемость окисла и полупроводника [3]. Средняя  $\bar{W} \approx e^2 p^{1/2} / \bar{\chi} \approx 5.9 p^{1/2}$  мэВ. Соответственно корреляционная энергия

$W_k \approx W_g - \bar{W} \sim \bar{W}$ . ИНП стремится локализовать дырки в своих хаотически расположенных минимумах  $U_m$  и нарушает кулоновские корреляции. Кинетические тепловая энергия  $E_T \approx kT$  и энергия локализации  $E_L \approx \hbar^2 p / 2m^*$  расширяют область локализации дырок, сглаживая неоднородный потенциал и разрушая корреляции. Состояние носителей определяется соотношением между  $\bar{W}$ ,  $E_T \approx 0.086 T$  мэВ,  $E_L \approx 0.06 \bar{p}$  мэВ и  $U_m$  [4]. При малых  $p$  величина  $\bar{W} < U_m$ . НП определяется в основном ИНП. Дырки заполняют наиболее глубокие центры локализации (ГЦЛ), отстоящие на расстоянии  $r > r_0 = e^2 / \pi U_m$ . С увеличением  $p$  значение  $U_m$  уменьшается, а  $\bar{W}$  и  $r_0$  увеличиваются. Становятся более существенными корреляции. При  $p \sim r_c^{-2}$  ( $\bar{W} \sim U_m$ ) НП, создаваемый локализованными носителями, сравнивается с ИНП. Далее дырки локализуются НП, создаваемым в основном самими носителями ( $\bar{W} \gg E_L, kT$ ). При этом локализованные ИНП дырки закрепляют благодаря взаимодействию остальные носители, препятствуя их перемещению как целого. Образуется электронное стекло. С увеличением  $p$  значение  $E_L$  растет быстрее  $\bar{W}$ , что в итоге должно привести к делокализации носителей. Из оценок, однако, видно, что для практически достижимых  $p$  всегда  $\bar{W} \gg E_L$ . Таким образом, при низких  $T$  дырки должны быть локализованы для всех  $p$ .

Взаимодействие приводит к пространственной корреляции носителей, в результате возникает щель в плотности состояний  $N(E)$  на уровне Ферми  $E_F$  [5]. Параметры щели, в частности ее эффективная ширина (зазор по подвижности)  $\Delta E$  и  $N(E_F)$ , зависят от радиуса корреляции  $r_c$ . С ростом  $r_c$  значение  $\Delta E$  увеличивается, а  $N(E_F)$  уменьшается. Соответственно  $\sigma \sim \exp(-\Delta E/kT)$  падает. Немонотонное изменение  $r_c$  может привести к немонотонности  $\sigma$ .

Величина  $r_c$  зависит от соотношения между  $\bar{W}$ ,  $E_T$ ,  $E_L$ ,  $U_m$ . Вблизи порога расстояние между дырками большое и изменение  $W_k$  локализованными ИНП носителями мало. В то же время эти носители препятствуют разрушению корреляций длинноволновыми фононами, поскольку создают щель в спектре возбуждений системы дырок. Здесь  $\bar{W}/kT$  и  $\bar{W}/E_L > 30$ . Поэтому может образоваться состояние с большим  $r_c$ . Полагая  $\Delta E \sim \bar{W}$ , получим оценку  $\sigma \sim 10^{-16} \text{ Ом}/\square$ . С учетом гистерезиса на ступеньке  $\sigma < 10^{-15} \text{ Ом}/\square$ . Состояние носителей зависит от характера заполнения ГЦЛ, и  $\sigma(p)$  может не повторяться. С ростом  $p$  значение  $\bar{W}$  увеличивается, изменение  $W_k$  глубокими центрами локализации растет, а мелкими — падает, отношение  $\bar{W}/E_L$  уменьшается. В результате может образоваться состояние из областей коррелированных носителей, локализованных вокруг ГЦЛ. Для данного состояния характерны немонотонность, неповторяемость  $\sigma(p)$ , локальный гистерезис. Величина  $r_c$  здесь падает,  $\sigma$  возрастает. Немонотонность  $r_c$  может быть связана с уменьшением влияния ИНП, корреляцией между дырками и локализованными ГЦЛ носителями. Увеличение  $r_c$  может происходить всякий раз, когда расстояние  $r_L$  между закрепленными ИНП носителями кратно  $r \sim p^{-1/2}$ . Полагая среднее значение  $r_L \sim p_t^{1/2}$ , получим регулярную немонотонность  $\sigma$  в соответствии с экспериментом ( $\Delta p \approx p_t$ ). Проявление корреляций связано с распределением дырок в ИНП и может различаться в различных экспериментах.

## Л и т е р а т у р а

- [1] Pepper M., Uren M. J. — J. Phys. C, 1982, v. 15, N 20, p. L617—L625.
- [2] Kwashnick R. F., Kastner M. A., Melngalis J., Lee P. A. — Phys. Rev. Lett., 1984, v. 52, N 3, p. 224—227.
- [3] Bonsall L., Maradudin A. A. — Phys. Rev. B, 1977, v. 15, N 4, p. 1959—1973.
- [4] Кабыченков А. Ф. Низкотемпературная проводимость инверсионных слоев с большой плотностью поверхностных состояний. — ФТП, 1986, т. 20, в. 2, с. 227—230.
- [5] Efros A. L., Shchlovskii B. I. — J. Phys. C, 1975, v. 8, N 4, p. L49—L51.